

Kolloquium



Ein Konzept für die Testfallentwicklung für sicherheitskritische Anforderungen unter Verwendung von Fault-Injection und Mutationstests

Ein Vortrag von Benjamin Trapp
(30.04.2014)

Agenda



**„Es irrt der Mensch, solange er strebt.“
(Johann W. von Goethe)**

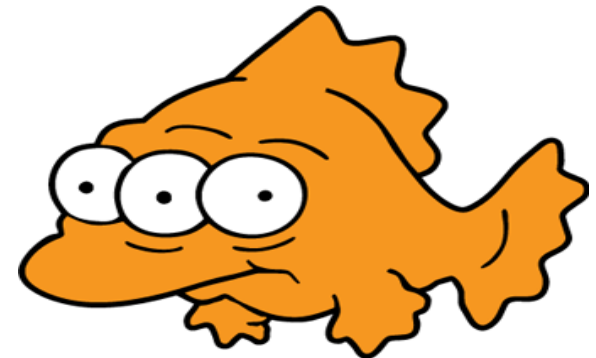
1. Grundlagen
2. Architektur der Implementierung
3. Testszenarien
4. FI-Experiment: Szenario Kosmische Strahlung
5. Fazit und Kritik

Mutationstest – Was ist das?

3

- Fehlerbasierte Testmethode (White-Box-Test)
- Bewertet die Qualität der Testfälle anhand von Mutanten
- **Mutant:** Softwareversion (mit jeweils nur einem Fehler), die unter Verwendung einer Mutationstransformation aus der Originalversion abgeleitet wird
- **Mutationstransformation:** Vordefinierte Regel die zu einem bestimmten Programmfehler führt. Die Regel basiert üblicherweise auf „Vertauschen“ von Einzelanweisungen z.B. $\text{if } (a \geq b)\{\dots\} \rightarrow \text{if } (a > b)\{\dots\}$

Ziel: Aufspüren von „schwachen Tests“



Mutationstests - Ablauf

4

Original Quellcode

```
if ( a && b )  
    c = 1;  
else  
    c = 0;
```

Mutierter Quellcode

```
if ( a || b )  
    c = 1;  
else  
    c = 0;
```

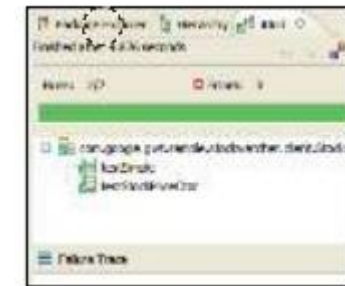
Durchführung einer
einzelnen Mutation

Ausführung der Tests

Test "tötet" den Mutant
→ Test adäquat ✓



Mutant überlebt ✗
→ Test inadäquat und
muss verstärkt werden



Mutationstests– Schwache Tests

5

```
public void String foobar(int i) {  
    if ( i >= 0 )  
        return "foo";  
    else  
        return "bar";  
}
```

```
@Test  
public void shouldReturnFooWhenGivenMinus1(){  
    assertEquals("foo" , foobar(-1));  
}
```

```
@Test  
public void shouldReturnBarWhenGiven1(){  
    assertEquals("bar" , foobar(1));  
}
```

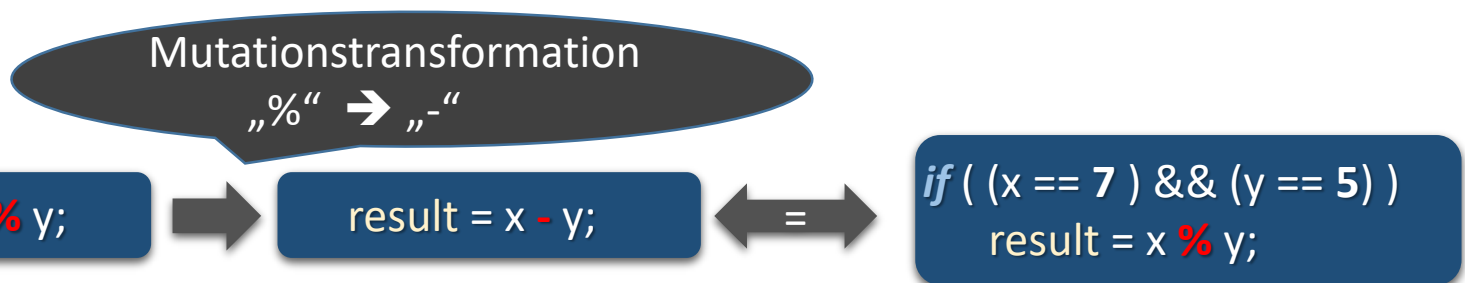
Gründe für inadäquate Tests

6

Mutant ist inadäquat und bleibt unerkannt weil:

- Testfälle ungeeignet um den Fehler zu identifizieren
→ Verbesserung oder ggf. Erstellung neuer Testfälle notwendig
- Es existiert kein Testfall der in der Lage ist den Mutanten zu erkennen
→ Mutant ist äquivalent zum Originalprogramm
- **Äquivalenz:** Mutant unterscheidet sich syntaktisch vom Originalprogramm
weist jedoch die gleiche funktionale Semantik auf

Beispiel:



Mutationstests – Stärken & Schwächen

7



- Mutationstests sind teuer → Sehr hoher Aufwand beim Kompilieren, Ausführung und Vergleich
- Zeitaufwendige Reduzierung der überlebenden Mutanten

- Bieten Gewissheit über die Qualität der Testdaten → verbessern indirekt die Softwarequalität
- Besonders stark in Kombination mit test-driven development (TDD)
- Gut automatisierbar → Problemlose Integration in Softwarelieferprozesse wie Continuous Delivery

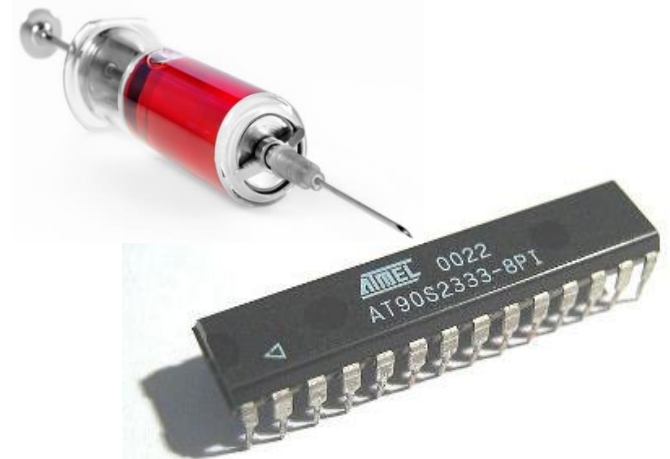


Fault-Injection – Was ist das?

8

- Relevante Methode zum Testen von funktionalen Sicherheitsstandards
- Durchführung der Fehlereinpflanzung mittels hinzufügen diverser Fehler in unterschiedlichen Bereichen des Softwaresystems
- Fehlerbehandlung von besonderer Bedeutung → Stellt die Robustheit des Softwaresystems und der Fehlerbehandlungsstrategie sicher
- Fault-Injection dient neben Robustheitstest auch als Stresstest
- Drei Varianten: Hardware-, Software- und Simulierte Fault-Injection

Ziel: Überprüfung von schwer test- oder reproduzierbare Schwachstellen



Software Fault-Injection

9

- Testtechnik zur Erforschung des Verhaltens von Software, wenn diese mit unüblichen Methoden strapaziert wird → Einpflanzen von Fehler in den Code
- Hilft die Testabdeckung zu verbessern
- Insbesondere Codestellen zur Fehlerbehandlung die üblicherweise nicht ausgelöst werden hier überprüft
- Verfügt typischerweise über zwei Methoden zur Fehlereinzupflanzung:

Compile-Time Injections

Technik bei der, der Fehler bereits vor dem Kompilieren eingepflanzt wird. Fehler ist statisch und kann sich zur Laufzeit nicht mehr verändern.

Run-Time Injections

Benützt Software-Trigger um Fehler während der Laufzeit in ein Softwaresystem einzupflanzen. Die Trigger sind typischerweise Zeit- oder Interruptgesteuert.

Virtual Hardware in the Loop (vHIL)

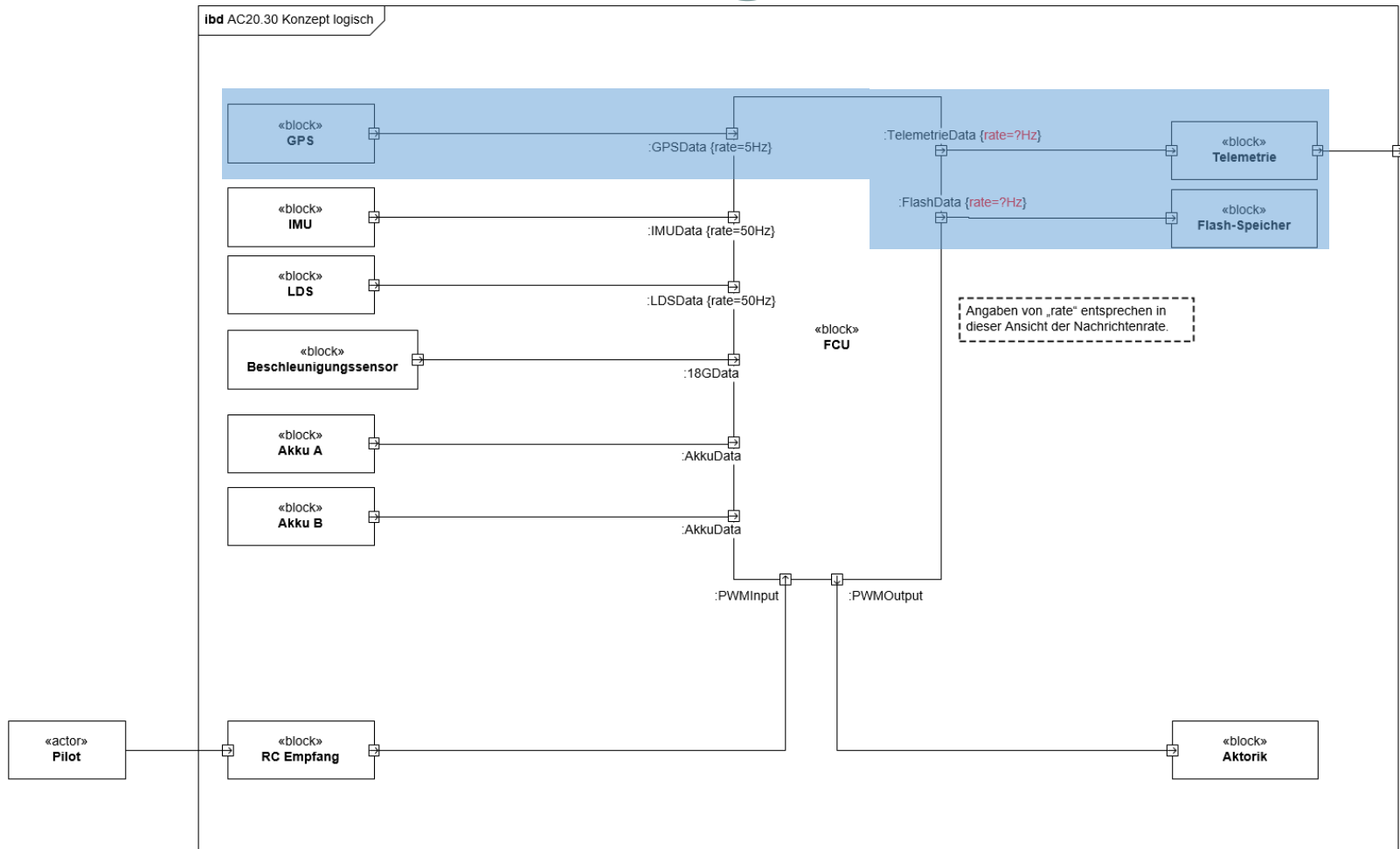
10

Ziel: Frontverlagerung des Testprozesses durch den Einsatz eines virtuellen Prototyps

- **Virtueller Prototyp:** Softwaremodell das die zu erstellende reale Hardware emuliert → Bietet die Option, die identische binäre Software auszuführen die später auf der realen Hardware läuft (ohne das Modell zu verändern)
- Für die Emulation reicht (in der Regel) ein herkömmlicher Desktop-PC
- Versetzt Softwareteams in die Lage, anhand eines realistischen Abbilds der Hardware bereits vor Fertigstellung der realen Hardware zu beginnen
- Durch diese Frontverlagerung können Fehler frühzeitig gefunden werden → Steigert signifikant die Qualität des Endprodukts bei gleichzeitiger Reduzierung der Kosten

Architektur des Flight Control Unit

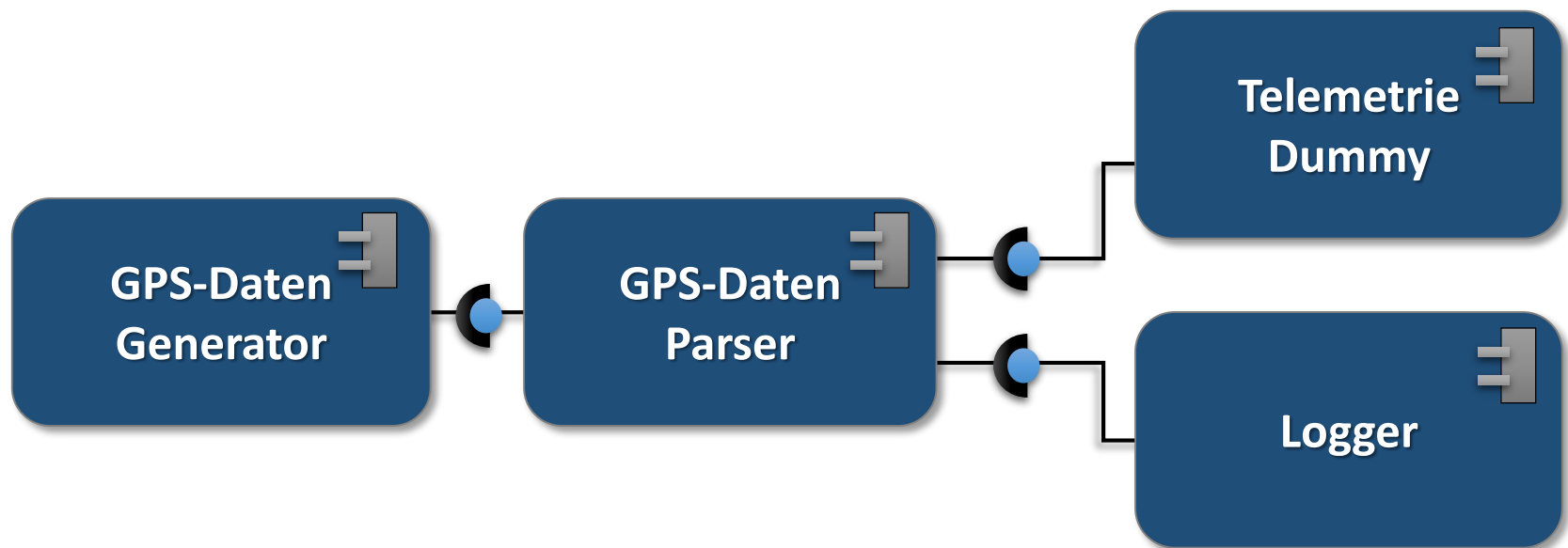
11



Quelle: René Büscher (Konzept_IBD.pdf)

Architektur des virtuellen Prototyps

12



NMEA-Datensätze - Aufbau

13

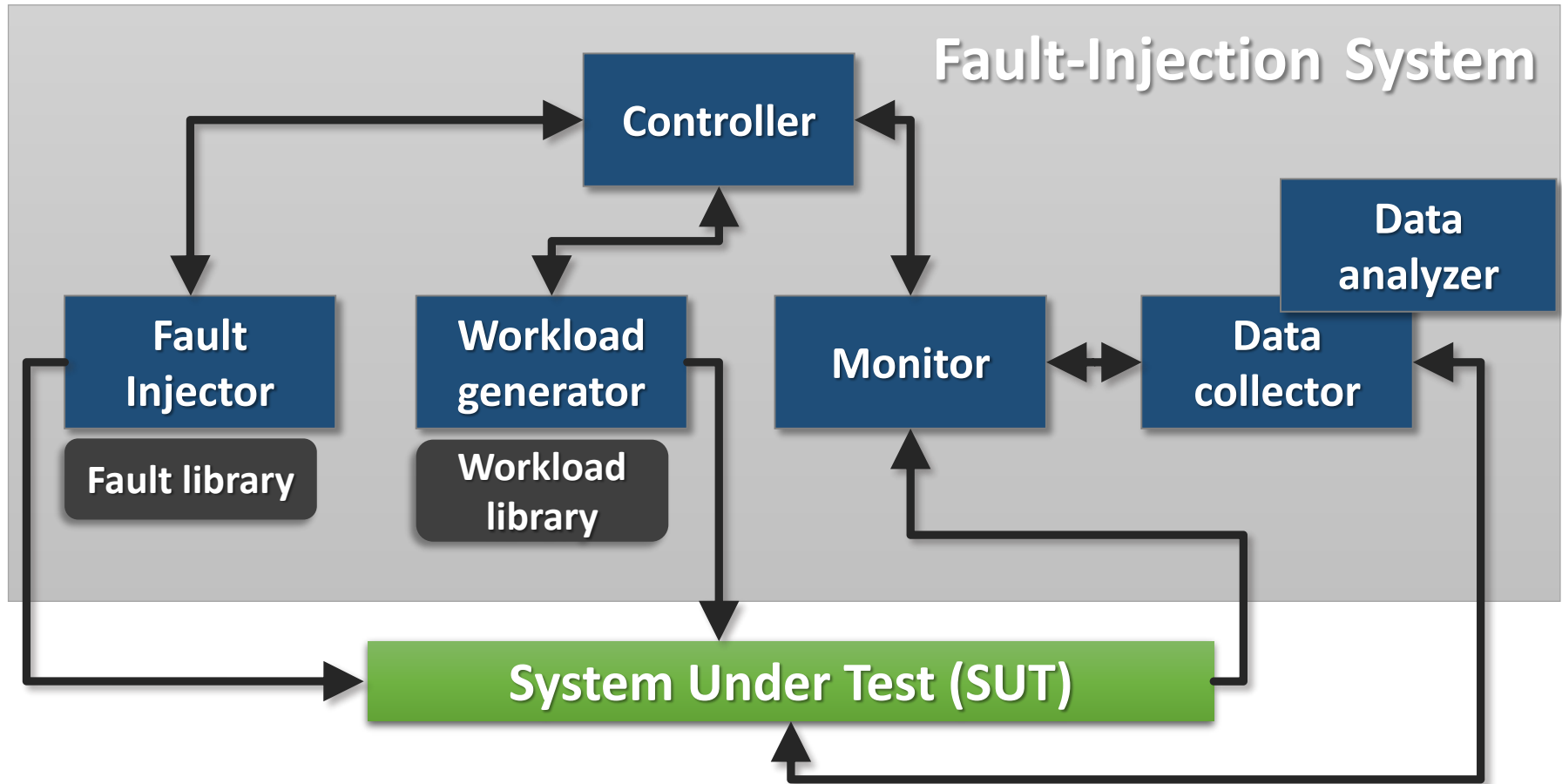
- **<\$GP><- - ->,<X>,...,<Xn>*<Checksum><CR><LF>**
- **<\$GP>** Talker ID → (\$GP für GPS, \$GL für GLONAS)
- **<- - ->** Name des Datensatzes z.B. RMC, GGA, DTM, ...
- **<x>,...,<Xn>** Vordefinierte Menge an Daten die im Kontext des Datensatzes stehen
- ***<Checksum>** Berechnung der Checksumme
- **<CR><LF>** Zeilenumbruch als Terminierungszeichen
(**CR** = Carriage Return, **LF** = Linefeed)

Beispiel:

```
$GPRMC,195923,A,5335.62,S,1004.12,W,010.0,203.0,120314,,S*73
$GPGGA,195922,5335.62,S,1004.12,W,8.0,08,2.2,13.1,M,0,M,,*79
$GPVTG,0.7,T,0.8,M,13.0,N,24.0,K,D*2D
$GPDTM,P92,,0.0,,0.0,,0.0,P92*64
```

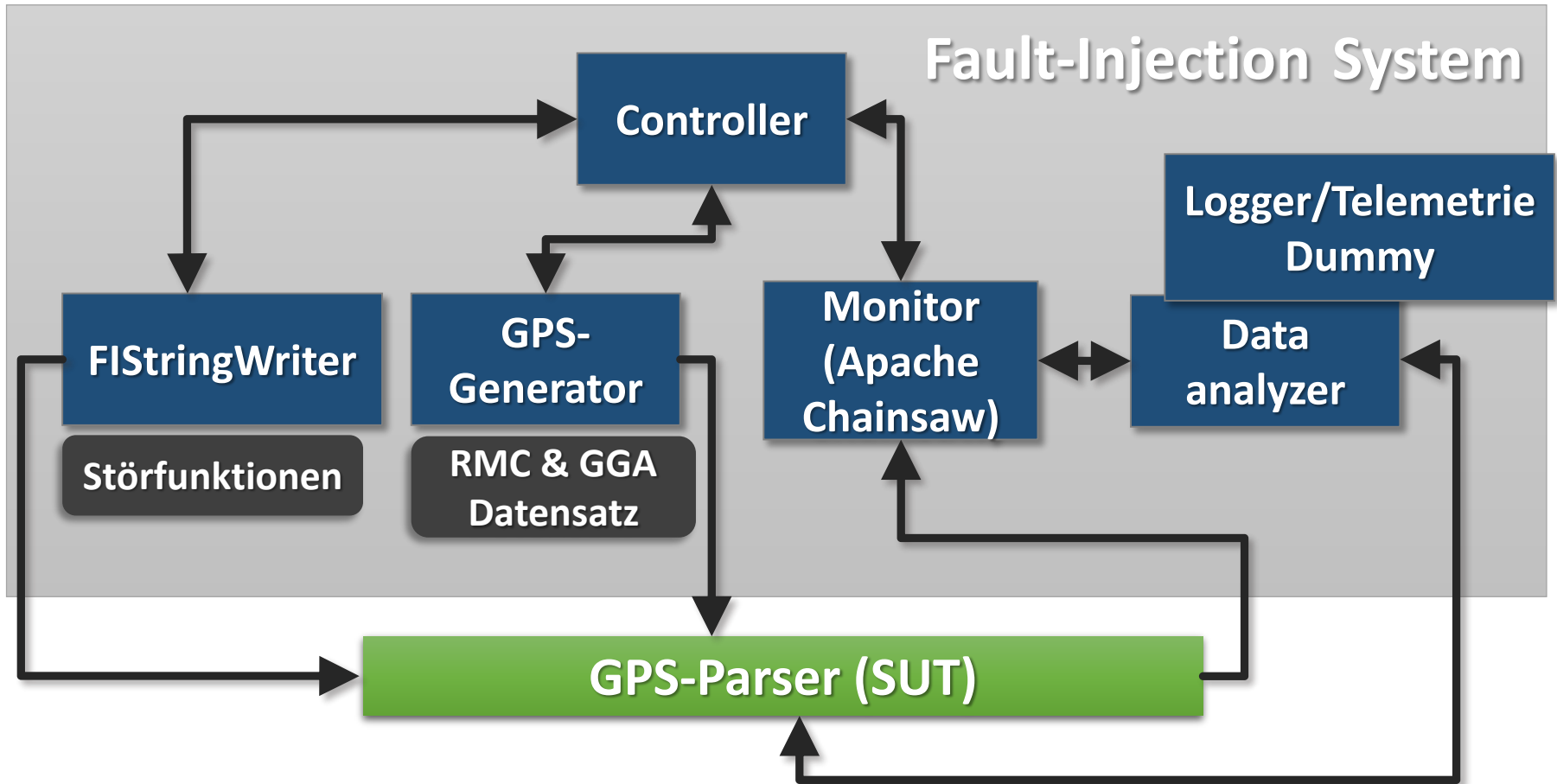
Fault-Injection Environment

14



Angepasste Fault-Injection Environment

15



Testszenarien (1/4)

16

- Erprobung von Konzepten innerhalb des Fault-Injection Experiments
- Formen die Randbedingungen des FI-Experiments
- Dient nicht zum Auffinden von Fehlern, sondern als Grundlage zum Ableiten der einzupflanzenden Fehlertypen
- Abstrahierte Nachempfindung der implementierten Fehlertypen von realen Fehlerquellen → Stellen Bezug zur Realität her
- Testszenarien als Prüfkonzept für Fehlerbehandlungsmechanismen
→ Nachweis über Robustheit und Funktionalität

Ziel: Überprüfung und Immunisierung der Soft- und Hardware gegenüber den eingepflanzten Fehlertypen

GPS-Spoofing (2/4)

17

- Angreifer sendet Störsignale (typischerweise DGPS) welche die regulär empfangenen GPS-Signale des Ziels imitieren
- Keine Störung im eigentlichen Sinn → Täuschung des GPS-Empfängers durch falsche Positionsangaben
- Auftreten von „Sprüngen“ in den Daten für Längen-, Höhen und oder Breitengrad in den empfangenen NMEA-Datensätzen
- „Fehler“ gehört eigentlich zum Bereich Safety (Blick über den Tellerrand)



Testszenarien – Haftfehler (3/4)

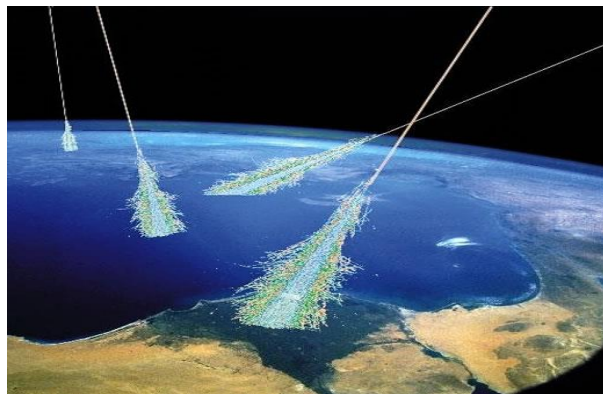
18

- Haftfehler → Annahme, dass ein Ein- bzw. Ausgang oder eine Leitung auf einem festen Wert liegt und keinerlei Signalwechsel möglich sind
- Wird in Hardware typischerweise durch Materialfehler ausgelöst
- Haftfehler verursacht durch kosmische Strahlung ebenfalls denkbar → Datum innerhalb der Software wird während des Zustandswechsels verfälscht und erreicht ungültigen Zustand → Extern als Haftfehler beobachtbar
- Hat besondere Bedeutung für Hardwarebeschreibungssprachen, wie bspw. VHDL, Verilog
- Ebenfalls stark in Verbindung mit Modellierungs- und Simulationssprachen/Tools, z.B. SystemC, Simulink

Testszenarien – Kosmische Strahlung (4/4)

19

- Untersucht die Auswirkungen von radioaktiver- und kosmischer Strahlung auf das Fehlerverhalten von Hard- und Software
- **Soft Error:** Üblicherweise Strahlung als Auslöser. Aber auch Störsignale wie Rauschen oder Übersprechen von Signalen gehören in diese Kategorie
- Hardware → Strahlenbasierte Fault-Injection bereits üblicher Standard zur Qualitätssicherung

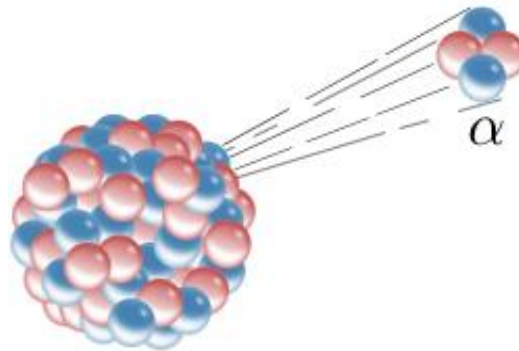


Kosmische Teilchenschauer auf dem Weg zur Erde

Kosmische Strahlung

20

- Hochenergetische Teilchenstrahlung aus dem Weltall
- In Bezug auf Soft-Errors → α -Strahlung von besonderer Bedeutung
- α -Teilchen sind zweifach positiv geladene Helium Ionen
- Die hohe elektrische Ladung des energiereichen Helium Ions, erzeugt freie Ladungsträger im Mikrochip → Führt zu kleinen elektrischen Stromflüsse
- Entstehung von „Bitflips“ → Funktionsfehler oder gar Totalausfall des Chips



Emission eines α -Teilchens

Schutz gegen kosmische Strahlung

21

- Aufteilung in zwei Bereiche zum auffinden und ggf. Korrektur von Fehlern:
 1. Verwendung von Checksummen.
 2. Softwaremethoden zur Fehlerkorrektur im Datenbereich.
- Literatur über „Softwaremethoden zur Fehlerkorrektur im Datenbereich“ Relativ dünn gesät.

Beispiel: Swift-R: Drei Programmkopien ineinander kombiniert. Mehrheitswahl vor kritischen Entscheidung
- Im Bezug auf des Testszenarios
 - ➔ Verwendung der NMEA-Checksumme
- Einsatz der FI zur Bewertung von Effektivität und Robustheit



NMEA-Checksumme

22

- NMEA-Checksumme wird durch Verwendung von XOR gebildet
- Triviales Checksummenverfahren
- Leider oft Deaktiviert → Verwendung optional und kein muss

```
public String NMEAChecksum ( String nmeaSentence){  
    ... Fehlerbehandlung ...  
  
    //i == 1 um das '$' Zeichen zu überspringen  
    for (int i = 1; i < nmeaSentence.length(); i++)  
        chk ^= nmeaSentence.charAt(i);  
  
    ... String Bearbeitung und Return Statement ...  
}
```

Störfunktionen

23

- Erzeugt den Fehler für die Fehlereinpflanzung → Methode die den gewünschten Fehlertyp generiert
- Verändern die Daten auf die das Programm Zugriff hat
- Verändert den Programmcode selbst nicht
- Die Möglichkeiten für die Erstellung von Störfunktionen ist nahezu unbegrenzt

Beispiele:

```
public int offByOne(int var) {  
    return (var % 2 == 0)? ++var : --var;  
}  
public int flipBits(int var, int bits) {  
    return var ^ (1 << bits);  
}
```

Durchführung des FI-Experiments

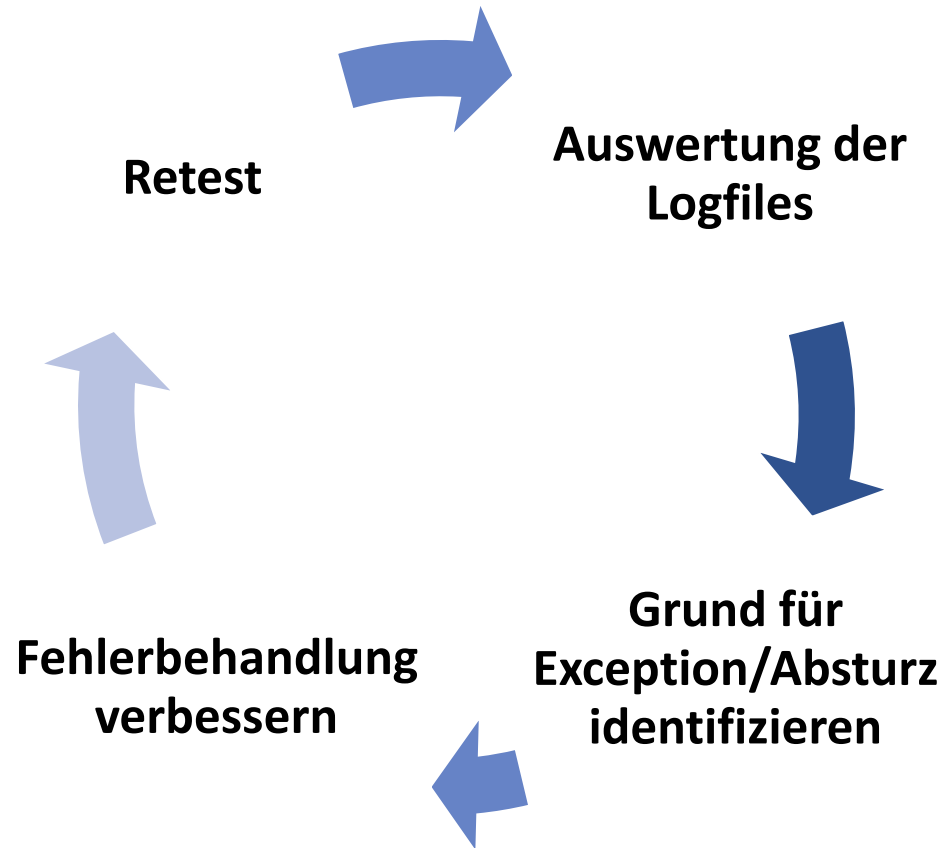
24

- Simulation einer Störung bei der Datenübertragung (RS422)
- **Verwendete Störfunktion:** Zufälliger Austausch einzelner übertragener „Symbole“ durch randomisierte ASCII-Symbole

MARKER	LEVEL	LOGGER	MESSAGE
	INFO	Unknown	\$GPGGA,195909,5334.04,S,1001.97,W,8.0,02,2.1,14.8,M,0,M,,*7E
	ERROR	Unknown	NMEA-Sentence malformed (\$GPGGA,195910,5334.16,S,100&.19,E,8.0,04,2.0,14.7,M,¥,M,,*6A)
Malformed	INFO	Unknown	\$GPGGA,195910,5334.16,S,100&.19,E,8.0,04,2.0,14.7,M,¥,M,,*6A
	ERROR	Unknown	NMEA-Sentence malformed (^GPR(C,195910,A,5334.16,S,1 02.19,E,010.0,140.0,120314é,SV6A)
Malformed	INFO	Unknown	^GPR(C,195910,A,5334.16,S,1 02.19,E,010.0,140.0,120314é,SV6A
	INFO	Unknown	\$GPGGA,195911,5334.23,S,1002.4,E,8.0,06,2.0,14.5,M,0,M,,*51
	ERROR	Unknown	NMEA-Sentence malformed (\$öPGBA,195912,5334.3,S,100D.48,E,8.0,10,2.ä,14.2,M,0,M,,*ö8)
Malformed	INFO	Unknown	\$öPGBA,195912,5334.3,S,100D.48,E,8.0,10,2.ä,14.2,M,0,M,,*ö8
	INFO	Unknown	\$GPRMC,195912,A,5334.3,S,1002.48,E,010.0,103.0,120314,,S*5F
	INFO	Unknown	\$GPGGA,195913,5334.46,S,1002.71,W,8.0,03,2.1,13.8,M,0,M,,*7E

Auswertungsprozess des FI-Experiments

25



Fazit und Kritik

26

Der Zuwachs an Weisheit lässt sich genau nach der Abnahme an Galle bemessen (Friedrich Nietzsche)

- Kein Allheilmittel → Beide vorgestellten Testmethoden reichen als „alleinige“ Testverfahren nicht aus
- Fehlermodelle nur so gut wie ihr Konzept → mit latenten Softwarefehler muss dennoch gerechnet werden (Mensch übersieht gerne Probleme)
- FI nur stark durch Verwendung unterschiedlicher FI-Varianten und Fehlermodelle → Variierte Abstraktionsniveaus der Experimente
- Für kleinere Modelle → Simulation mit Matlab Simulink besser geeignet
- Generische Gestaltung und Automatisierung teilweise schwer, jedoch sind Konzepte wie der „Chaos Monkey“ von Amazon Web-Services vielversprechend



Vielen Dank für Eure Aufmerksamkeit!

